

論文 90-27-9-14

# TiO<sub>2</sub>를 添加한 安定化 지르코니아의 電氣傳導特性

## (Electrical Conductivity Characteristics of Stabilized Zirconia added with Titania)

李濟遠\*, 朴昌暉\*\*

(Jae Won Lee and Chang Yub Park)

### 要 約

산소 센서의 소재로 사용되는 安定化 zirconia ( $ZrO_2 + 8\text{mol\% } Y_2O_3$ )에  $TiO_2$ 를 0.02wt%, 0.05wt% 0.1wt%를 각각添加하여 제조된 烧結體의 微細構造 및 電氣傳導特性을 고찰하였다.  $TiO_2$ 첨가에 의한 결정상의 변화는 없었으며 기공세거에 따른 치밀화로 이론밀도 97% 이상의 균질한 소결체를 얻었다. 0.02wt%의  $TiO_2$ 를 첨가하였을 때  $5.91\text{g/cm}^3$ 인 가장 높은 밀도이었다. 이때의 전기전도도 및 전해질 영역의 하한값이 각각  $0.293(\Omega \cdot \text{cm})^{-1}$ ,  $4 \times 10^{-28}\text{atm}$ (1,100°C의 온도조건)이었다. 이는  $TiO_2$ 가 첨가되지 않은 경우의 전기전도도  $0.107(\Omega \cdot \text{cm})^{-1}$ ,  $Pn \leq 1.5 \times 10^{-27}\text{atm}$ (동일조건)에 비해 높은 전기전도도 및 넓은 전해질 영역을 나타내었다.

### Abstract

The microstructure and electrical conductivity characteristics were examined for the Yttria Stabilized Zirconia that were added Titania with the concentration of 0.02 wt%, 0.05 wt% and 0.1 wt%.

The stabilized cubic phase had not been changed. The obtained density of the sintered body was higher than 97% of the theoretical density as the grain growth and pore removal. And the highest density of  $5.91\text{g/cm}^3$  was obtained for 0.02 wt% addition of  $TiO_2$ .

When 0.02 wt%  $TiO_2$  was added to YSZ, the electrical conductivity was  $0.293. (\Omega \cdot \text{cm})^{-1}$  and the limit of electrolyte regime  $Pn$  was  $4 \times 10^{-28}\text{atm}$ . at  $1,100^\circ\text{C}$ , respectively. Those were improved value compared with the electrical conductivity  $0.107 (\Omega \cdot \text{cm})^{-1}$  and  $Pn 1.5 \times 10^{-27}\text{atm}$ . without adding  $TiO_2$ .

### I. 서 론

산소센서는 외부의 산소함량 변화에 대해 전해질

적 특성이 변화하는 성질을 이용한 것으로, 산소분압(원인)의 변화에 대한 전해질특성치(결과)가 변화함을 이용하는 소자이며 이것이 서로 1차관계에 있을 때 우수한 센서로서의 조건을 갖고 있다고 할 수 있다. 그러나 실제적으로 산소 분압의 변화뿐만 아니라 온도, 조성 등 열역학적 독립변수에 의하여도 영향을 받게 된다.

전해질적 특성은 산소이온에 의한 이온전도 특성

\*正會員, 雙龍洋灰(株) 調査開發部

(Dept. of R&D, Ssangyong Cement)

\*\*正會員, 延世大學校 電氣工程科

(Dept. of Electrical Eng., Yonsei Univ.)

接受日：1989年 10月 29日

을 나타내는 것으로, 성능이 우수한 센서가 되기 위해서는 감지소자의 조직이 치밀하고 열충격에 강하며, 넓은 범위의 산소분압에서 산소이온 수송율이 거의 1이어야 한다.

산소 센서의 소재는 주로, 안정화 zirconia를 사용하여 이 소재는 순수 ZrO<sub>2</sub>에 Y<sub>2</sub>O<sub>3</sub>, CaO 등을 첨가하여 입방정계의 고용체로 안정화 시켜, 내열 충격성을 향상시키고 산소이온 공격자를 형성하는 구조로 만든다. 이때 고체 전해질이 갈바니 전지를 형성하며 산소이온 공격자가 산소분압이 높은쪽(양극)에서 낮은쪽으로 이동하므로 도전성이 나타나게 된다. 특히 지르코니아의 특성 중 전해질영역은 고체전해질 제조시 첨가되는 불순물에 의해 많은 영향을 받으며 SiO<sub>2</sub>를 불순물로 첨가했을 경우는 n형 반도체특성이 나타나는 것으로 알려져 있다.

TiO<sub>2</sub>를 첨가하는 경우는 Ti와 Zr의 치환고용량이 4 atm%<sup>[1]</sup> 정도이며, TiO<sub>2</sub>와 ZrO<sub>2</sub>의 2상 사이의 고용성 및 상전이에 주는 영향에 대해 보고가 있으나 불순물로서 TiO<sub>2</sub>가 지르코니아 고체전해질에 주는 영향에 대한 연구는 없었다.

본 실험은 concentration cell type 산소 센서용으로 제조한 안정화 지르코니아(8 mol% Y<sub>2</sub>O<sub>3</sub>+ZrO<sub>2</sub>)에서 TiO<sub>2</sub>를 미량 첨가하여 만든 소결체의 소재특성과 전기전도도 및 전해질 영역에 TiO<sub>2</sub>가 미치는 영향을 조사, 분석하였다.

## II. 실험 및 측정

### 1. 시편 제작

본 실험에 사용된 시편은 일반적인 세라믹스의 제조공정을 따랐다. 이 실험에 사용한 원료는 표1과 같으며 TiO<sub>2</sub>의 첨가 효과를 보기 위하여 8 mol% Y<sub>2</sub>O<sub>3</sub> + 92 mol% ZrO<sub>2</sub>를 기본으로 하여 TiO<sub>2</sub>를 첨가하지 않은 것과 TiO<sub>2</sub>를 0.02wt%, 0.05wt%, 0.10wt% 첨가한 것(이하 Zr0.00Ti, Zr0.02Ti, Zr0.05Ti, Zr0.10Ti이라 칭함)으로 하였다.

각 조성을 중류수를 용매로 하여 조성물외의 불순물 혼입을 방지하기 위하여 zirconia jar에서 24시간 혼합시킨 후 건조하였다. 건조된 혼합 분말을  $\phi$ 1/4 inch  $\times$  L150mm의 Tube 및 4mm  $\times$  4mm  $\times$  15mm Bar 형태로 2,000Kg/cm<sup>2</sup>의 정수압성형(cold isostatic press) 하였으며 전자는 전하 적정법으로 전해질 영역의 하한을 결정하는데 사용하였고 후자는 물리적성질 및 전기전도도 측정용으로 사용하였다.

소결 공기분위기 중에서 super kanthal furnace를 이용하였다. 상온에서 700°C 까지는 3°C/min로 승온

하였고 binder를 제거하기 위하여 700°C에서 1시간 유지하였다. 1,500°C 까지 3°C/min 승온하여 2시간 유지후 1,000°C 까지는 3°C/min, 상온까지는 5°C/min로 냉각하였다.

표 1. 원료의 화학성분

Table 1. Chemical composition of raw materials.

raw material	순도	주요 impurity	제조 회사
8mol% Y <sub>2</sub> O <sub>3</sub> 로 안정화된 Zirconia	99.9%	Na <sub>2</sub> O SiO <sub>2</sub>	Toyosoda Manuf. Co.
TiO <sub>2</sub>	99.9%	Al <sub>2</sub> O <sub>3</sub> SiO <sub>2</sub>	Hayasi Chemical
Darvan No. 7	-	Na.	R. T Vanderbilt Co.

### 2. 전기 전도도 측정장치 구성

전기 전도도는 D. C. 4probe 방법<sup>[2]</sup>으로 측정하였으며 이를 위해 시편을 diamond saw를 이용하여 약 4mm  $\times$  4mm  $\times$  15mm 정도 크기의 시편을 만들었다. 시편 모서리에 거의 균일한 간격으로 4조의 V자 홈(notch)을 얇게 파고, 거기에 0.01 inch 굵기의 백금선을 감아 고아서 부착시켜 전극으로 사용하였다. 전극 접촉을 좋게하기 위하여 백금선을 감을 부위에 Pt paste(engethard 51758)를 바르고 24시간 전조시킨 후 800°C 까지 천천히 승온하여 한시간 동안 열처리하였다. 양쪽 끝 전극에는 가해지는 전기장이 균일하게 분포하도록 백금선과 시편 부위를 Pt paste로 빌렸다. 시편의 단면적과 내부 사이의 거리는 0.001 mm까지 측정할 수 있는 micrometer를 사용하여 측정하였으며, 한 시편에 대해 7회 이상 반복 측정하여 얻은 평균값을 사용하여 shape factor를 결정하였다. 이때 shape factor는 두 내부 전극사이의 거리(L)를 시편의 단면적(A)으로 나눈 값을 의미한다. 측정장치는 그림 1과 같이 구성하였다.

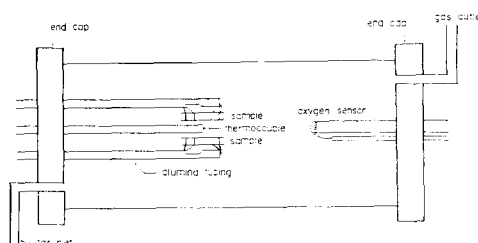


그림 1. 전기전도도 측정 장치의 개략도

Fig. 1. Schematic of the electrical conductivity measurement system.

### 3. 전해질영역의 하한 측정장치 구성

액체 전극으로 용점이 약 1,080°C인 구리(Cu)를 사용하였다. 따라서 본 실험에서  $P_{\text{H}_2}$ 값을 결정한 온도 영역은 구리의 녹는점 이상인 1100°C부터이며 1300°C 까지 측정하였다. 구리 사용량은 약 2g 정도였으며 도선으로는 고온 산화에 잘 견디는 stainless steel (Type 316)을 사용하였다. 전하 적정 시편의 개략도는 전하 적정 장치도인 그림 2<sup>(3)</sup>에 나타내었다. 외부 전극으로 사용하는 백금선을 감을 끝부분은 SiC 연마(600)로 연마하여 ethanol로 초음파 세척하였다. 전조 후 Pt paste (engelhard 51758)를 백금선을 감을 끝부분에 바로고 0.01 inch 백금선을 감았다.

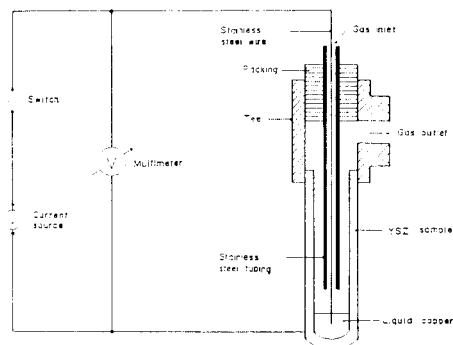


그림 2. 전해질영역 하한 측정장치 개략도

Fig. 2. Schematic of the  $P_{\text{H}_2}$  measurement system.

### 4. 측정

#### 1) X선 회절 분석

$\text{TiO}_2$  첨가량에 따른 결정상의 변화를 관찰하기 위하여 분말법에 의한 X선 회절 분석을 수행하였다. 측정조건은 Cu K $\alpha$  target, Ni filter, 가속전압 40kV, 20mA, scan speed 4°/min, 500cps 이었으며 사용기기는 philips PW 1712 이었다.

#### 2) 미세구조 관찰

미세구조 관찰을 위하여 소성시편을 1μm의 diamond paste를 이용하여 충분히 polishing 시킨후 1,400°C 30 min 동안 thermal etching 하여 가속전압 20kV로 주사현미경을 사용하여 관찰 (ISI-DS130)하였다.

#### 3) EDX (energy dispersive x-ray analysis) 관찰

$\text{TiO}_2$ 의 입자간 고용성을 관찰하기 위하여 1μm의 diamond paste를 이용하여 충분히 연마된 시편을 Ti에 대한 EDX-mapping 분석 (philips EDAX 9100)을 실시하였다.

### 4) 전기 전도도 측정

준비된 시편을 SiC 발열체로의 온도 균일대에 넣고 온도와  $P_{\text{O}_2}$ 를 변화시키면서 전도도를 측정하였다. 전기전도도 측정은 D. C. 4-probe 방법을 사용하였다. 측정 온도의 범위는 600°C에서 1300°C 까지였으며 1°C의 범위 이내로 조절하였다. 산소 분압은 1기압에서  $10^{-4}$  기압 사이는  $\text{O}_2$ 와  $\text{N}_2$  혼합 기체를 이용하여 조절하였고, 그 이하  $10^{-20}$  기압까지는  $\text{CO}$ 와  $\text{CO}_2$  혼합 기체를 사용하여 조절하였다. 이때 혼합 기체의 유량은 120mL/min 정도로 유지하였다. 산소분압은 이트리아 안정화 지르코니아 센서를 사용하여 측정하였으며 식(1)의 Nernst 식을 이용하여 계산하였다.

$$E = -RT/4F \ln \{ P_{\text{O}_2}/P_{\text{O}_2}(\text{ref.}) \} \quad (1)$$

본 실험에서는  $P_{\text{O}_2}(\text{ref.})$ 로 공기 (0.21 atm)를 사용하였으며  $P_{\text{O}_2}$ 는 일정한 혼합비의 기체에 대하여 7회 이상 측정하여 구한 평균값을 사용하였으며  $\log P_{\text{O}_2}$ 의 측정 오차는 약 0.5정도였다.

전기 전도도는 시편의 외부전극을 통하여 전류I를 흘리면서 내부 전극 양단에 걸리는 전압 강하V를 측정하여 다음식에 의하여 시편의 전기 전도도를 측정하였다.

$$\sigma = IL/VA \quad (2)$$

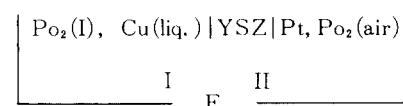
여기서 A : 시편의 단면적

L : 내부 전극 사이의 거리

전원으로는 D. C. current standard를 사용하였으며 내부전극 사이의 전압 강하는 multimeter를 사용하여 측정하였다. 전기 전도도와 측정오차는 시편의 shape factor L/A의 측정 오차에 주로 의존하는데, 본 실험에 사용한 시편의 경우 L/A의 측정 오차는 2.5% 정도였다.

#### 5) 전해질 영역 하한 측정

본 실험에서는 전해질 영역의 하한인  $P_{\text{H}_2}$ 를 전하적 정법으로 측정하였다. 전하 적정법 cell의 구조는 다음과 같다.



단자I과 II사이에 직류 전류를 인가하여 왼쪽의 구리 액체 속에 녹아있던 산소를 오른쪽으로 뺏어내면서 순간순간 전원을 끊고 cell(II)의 기전력을 측정한다. 시간이 경과하면 Cu(liq.)/YSZ계면의 산소분압이 떨어지면서 cell(II)의 기전력 E는 Nernst 식

에 의하여 증가한다. Pn보다 아주 작아지게 되면, 즉 Po<sub>2</sub>(I) < Pn을 만족하면, 기전력은 일정한 값으로 수렴하게 되는데 이 때의 E는

$$E = RT/4F \ln \{Po_2(\text{air})/Pn\} \quad (3)$$

이다. 따라서 cell(II)의 기전력 E로부터 전해질 영역의 하한 Pn을 결정할 수 있다.

인가전류(titration current)는 대략 100에서 200mA 정도였다. 온도가 센서의 외부로부터 높아질수록 구리액체속에서의 산소 확산 계수가 커지므로 단위시간에 센서의 외부로 부터 구리액체와 YSZ의 계면으로 들어오는 산소양이 많아진다. 그러므로, Po<sub>2</sub>(I) 값을 Pn값보다 작아지게 하기 위해서는 약간 더 큰 전류를 인가해야 했다.

기전력 E가 한계값(saturated value)에 이르면 인가전류의 값을 높여도 기전력 E의 값을 거의 증가하지 않는다. 이는 Po<sub>2</sub>(I)이 Pn보다 아주 작아졌다는 것을 의미하므로 이 때의 E값을 취하여 식(3)에 대입하여 Pn값을 구한다. E값을 구할때는 전원을 끊고 충분히 짧은 시간(약 1초)내에 E를 읽어야 한다. 왜냐하면 시간이 경과함에 따라 외부로부터 산소가 구리액체/YSZ 계면으로 확산되어 들어와 Po<sub>2</sub>(I)가 Pn보다 아주 작다는 조건을 만족시키지 않으므로 그 때의 기전력 E값은 식(3)에서 요구하는 E값의 조건을 만족하지 않기 때문이다. 기전력을 7회이상 측정하여 평균값을 사용하여 Pn을 구했으며 기전력의 측정오차는 약 2% 정도였다.

### III. 결과 및 고찰

#### 1. 밀도측정

조성변화에 따른 밀도측정 결과를 표2에 나타내었다.

표 2. 밀도 및 흡수율

Table 2. Physical properties of various specimen.

구 분 / 조 성	Zr 0.00Ti	Zr 0.02Ti	Zr 0.05Ti	Zr 0.10Ti
apparent density(g/cm <sup>3</sup> )	5.84	5.91	5.89	5.84
apparent porosity (%)	0.03<	0.02<	0.02<	0.02<

각조성 모두 1,500°C에서 소결한 결과 각 조성 모두 치밀화가 진행되는 것을 알 수 있으며 TiO<sub>2</sub>를 0.02wt% 첨가시 가장 높은 소결밀도를 나타내었다.

각조성 모두 이론밀도의 97% 이상을 나타내어, 산소센서로서 사용시, 산소의 침투성은 나타내지 않을 것으로 생각된다.

#### 2. 결정상

조성변화에 따른 결정상 분석결과를 표3과 그림3~6에 나타내었다.

표 3. 결정상 분석결과

Table 3. Crystal phase of various specimen.

구 분/조성	Zr 0.00Ti	Zr 0.02Ti	Zr 0.05Ti	Zr 0.10Ti
결정상	Cubic	Cubic	Cubic	Cubic
결정립부피(mm <sup>3</sup> )	0.1361	0.1359	0.1360	0.1358

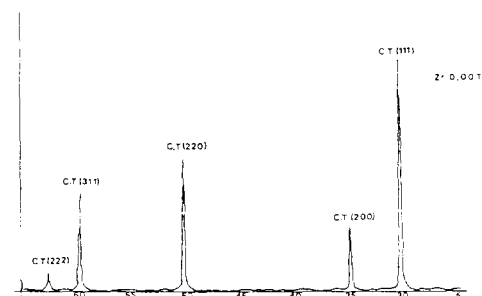


그림 3. XRD 분석 결과(Zr 0.00 Ti)  
Fig. 3. XRD pattern (Zr 0.00 Ti).

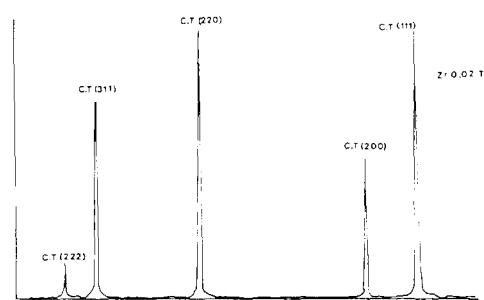


그림 4. XRD 분석 결과(Zr 0.02 Ti)  
Fig. 4. XRD pattern (Zr 0.02 Ti).

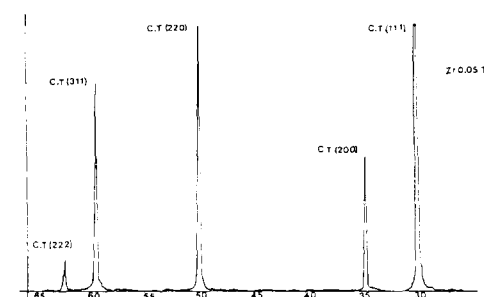


그림 5. XRD 분석 결과(Zr 0.05 Ti)  
Fig. 5. XRD pattern (Zr 0.05 Ti).

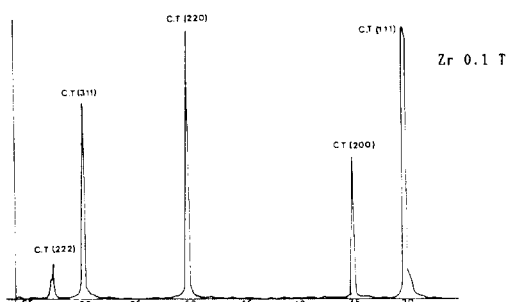


그림 6. XRD 분석결과(Zr 0.10 Ti)  
Fig. 6. XRD pattern(Zr 0.10 Ti).

각 조성에 따른 XRD분석 결과 모두 100% cubic phase로 나타났으며 이는 초기 안정화제로 첨가된  $\text{Y}_2\text{O}_3$ 에 의해 안정화된 것이고  $\text{TiO}_2$  첨가에 따른 결정상의 변화는 찾아볼 수 없었다.

$\text{TiO}_2$  첨가에 따른 단위정의 체적 변화는 Non-linear least square parameter estimation for lattice geometry function program을 이용하여 측정하였으며  $\text{TiO}_2$  첨가에 따라 단위정의체적이 감소하며 단위정의 체적 감소는  $\text{Ti}^{3+}$ (이온변경 1.46 Å)가  $\text{Zr}^{4+}$ (이온반경 1.60 Å)의 두격자 자리에 치환되어 변화된 것이다.

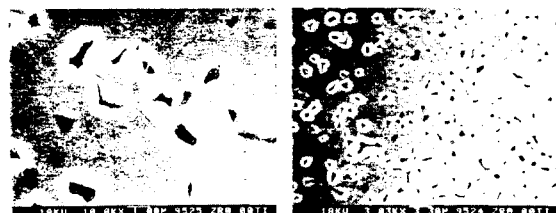
$\text{ZrO}_2$ 에  $\text{TiO}_2$ 의 고용한계는 1,500°C에서  $16.1 \pm 0.2\text{ mol}\%$ <sup>4)</sup> 정도로 보고되고 있다.  $\text{Zr}$ 이온격자 자리에  $\text{Ti}$ 가 치환될 경우 고용한계 내에서 고용체  $\text{Zr}:\text{TiO}_4$ 를 생성하나 첨가된  $\text{TiO}_2$ 의 양이 미량(최대 0.10wt %)인 관계로 XRD 상분석에서 2차 상으로 검출되지 않은 것으로 추정된다.

표 3에 나타난 조성별  $\text{TiO}_2$  첨가에 따른 단위정의 체적값은  $\text{Zr} 0.02 \text{ Ti}$  시편의 밀도값이 가장높게 나타나며  $\text{Ti}$  첨가가 많을수록 밀도값이 감소하는 것과 단위정의 체적의 증가와 같은 경향을 나타내고 있는데,  $\text{Zr} 0.10 \text{ Ti}$ 의 경우 단위정의 체적값이 표준 편차의 나머지 값보다 6배 이상 크게 나타났기 때문에 이에 기인한 편차로 추정된다.

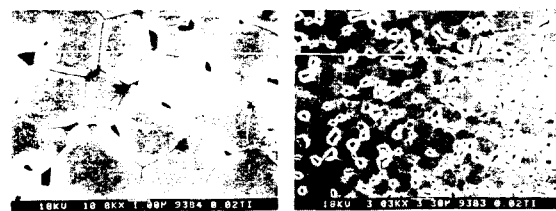
### 3. 미세구조

각 조성에 따른 미세구조 및 입경변화를 사진 1~사진4, 표 4에 나타내었다.

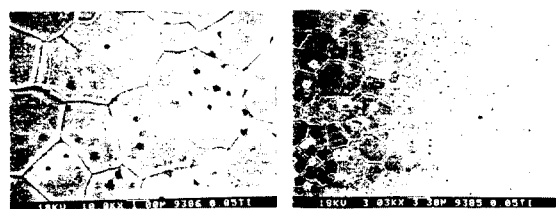
$\text{Ti}$ 가 첨가되지 않은 조성의 경우 가공이 입계면에 존재하여 치밀화되어 가는 과정에 있음을 알 수 있음을 알 수 있으며,  $\text{Ti}$ 가 첨가된 조성은 치밀화가 많이 진행된 것을 알 수 있다.



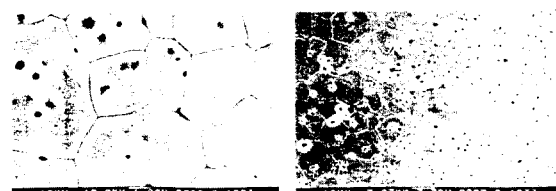
사 진 1. 미세구조(Zr 0.01 Ti)  
Photo 1. Micro structure(Zr 0.00 Ti).



사 진 2. 미세구조(Zr 0.02 Ti)  
Photo 2. Micro structure(Zr 0.02 Ti).



사 진 3. 미세구조(Zr 0.05 Ti)  
Photo 3. Micro structure(Zr 0.05 Ti).



사 진 4. 미세구조(Zr 0.10 Ti)  
Photo 4. Micro structure(Zr 0.10 Ti).

표 4. 각 조성에 따른 입경 Size 변화

Table 4. Variation of grain and pore size according to the composition.

구 분/ 조 성	Zr 0.00Ti	Zr 0.02Ti	Zr 0.05Ti	Zr 0.10Ti
Grain Size( $\mu\text{m}$ )	2.68	2.68	3.78	4.19
Pore Size( $\mu\text{m}$ )	0.6~0.8	0.5~0.6	0.2~0.3	0.3~0.4

TiO<sub>2</sub>가 소결 촉진제로서 결정립 성장에 기여하여 사진에 나타난 결정립 내부의 검은 부분은 가공이 결정립 내부에 험몰된 것이다.

입경의 크기 변화를 linear intersect technique<sup>[5]</sup>으로 계산하였다.

#### 4. EDX 분석

TiO<sub>2</sub> 첨가에 따른 EDX의 Ti mapping한 결과 각각 조성에서 불순물로서 TiO<sub>2</sub> 첨가량 변화에 따라 Ti의 mapping spot가 변화하는 것을 알 수 있었으나 TiO<sub>2</sub>가 ZrO<sub>2</sub>와 고용한계 내에서 고용됨으로 입계면으로 segregation 되는 현상을 찾아볼 수 없었으며 결정내에 균일하게 고용됨을 알 수 있었다.

#### 5. 전기전도도

시편 Zr 0.02 Ti, Zr 0.05 Ti, Zr 0.1 Ti의 산소분압과 온도에 따른 전기전도도는 그림 7,8과 같다. 각 측정온도에서 전기전도도는 Po<sub>2</sub>에 상관없이 일정함을 알 수 있다. 산소분압의 변화에 대하여 전기전도도가 변하지 않는 영역이 전해질 영역이다. 그리고 본 실험에 사용한 시편의 산소분압에 따른 전기전도도를 그림7에 나타냈으며 측정 온도영역과 Po<sub>2</sub> 범위에서 전해질일 필요조건을 만족함을 알 수 있다.

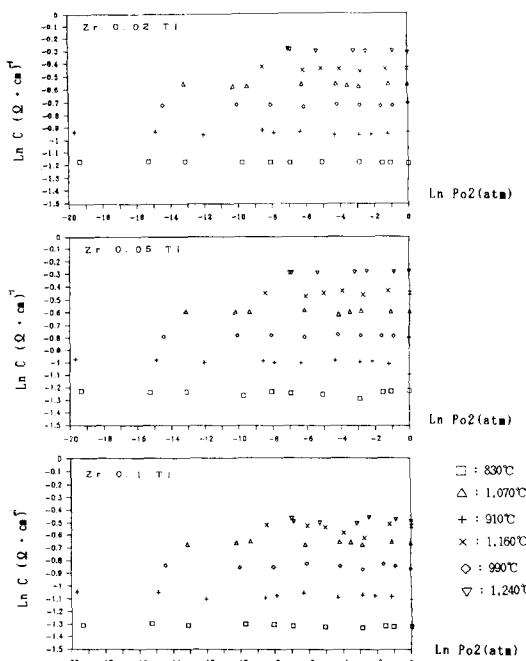


그림 7. 산소분압에 따른 전기전도도 등온선

Fig. 7. Isothermal lines of electrical conductivity according to the oxygen partial pressure.

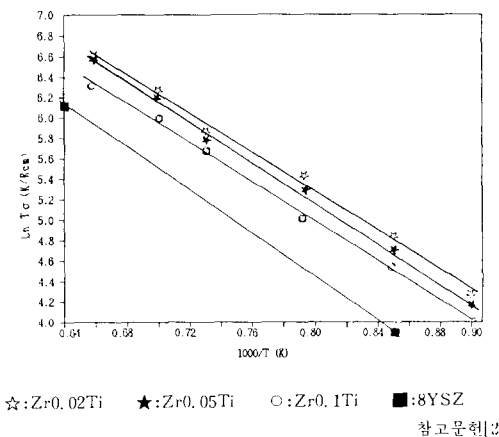


그림 8. 전기전도도의 온도에 따른 변화  
Fig. 8. Variation of electrical conductivity according to the temperature.

전해질 영역내에서 온도에 따른 전기전도도의 변화는 그림8과 같다. 이 그림을 살펴보면 시편 Zr 0.02 Ti, Zr 0.05 Ti, Zr 0.1 Ti의 순서로 전기전도도가 감소함을 알 수 있다.

이는 시편의 미세구조와 연관하여 설명할 수 있다. 즉 표 2에서 알 수 있듯이 TiO<sub>2</sub>가 첨가될 때 밀도는 증가하였고, TiO<sub>2</sub> 첨가량이 증가할수록 밀도가 저하되어 이에 따라 전기전도도 역시 감소됨을 알 수 있다.

산소 ion 전도도  $\sigma_i$  관계식은 다음과 같다.

$$\ln T\sigma_i = -E_i/kT + \ln \sigma_{i,0} \quad (4)$$

측정한 전도도가 전해질영역에서의 산소 ion에 의한 전도도라면  $\ln T\sigma_i$ 는  $1/T$ 에 대하여 직선의 관계에 있어야 한다. 그림 8에 나타나 있는 시편의 전기전도도는 각각 다음과 같다.

$$\text{Zr 0.02 Ti : } \ln T\sigma = (12.99 \pm 0.03)$$

$$- (0.82 \pm 0.01 \text{ eV})/kT \quad (5)$$

$$\text{Zr 0.05 Ti : } \ln T\sigma = (13.15 \pm 0.03)$$

$$- (0.81 \pm 0.01 \text{ eV})/kT \quad (6)$$

$$\text{Zr 0.1 Ti : } \ln T\sigma = (12.85 \pm 0.04)$$

$$- (0.80 \pm 0.02 \text{ eV})/kT \quad (7)$$

입력 data의 수  $N=6$ 에 대하여 linear correlation coefficient  $r$ 은 각각 0.999 이상으로서 관계식을 잘 만족하고 있다. 이 전기전도도를 그림 8에서 Ti가 첨가되지 않은 참고문헌[2]와 비교하여 보았는데 그

경향이 잘 일치하고 있으며, 측정 온도구간에서 전기전도도가 약 0.8 order 정도 높은 값을 보이고 있어 센서소재로서 산소감지 능력이 향상되었음을 알 수 있다.

활성화에너지는 약 0.8 eV이었다.

#### 6. 전해질영역의 하한

그림 2의 측정장치를 사용하여 전원을 인가하고 차단한 직후 기전력E를 측정하여 구한  $P_n$  값을 표 5에 나타내었고 식으로는 다음과 같다.

$$\text{Zr 0.02 Ti : } \ln P_n = (29.47 \pm 0.46) - (1.27 \pm 0.07) \times 10^8 / T \quad (8)$$

$$\text{Zr 0.05 Ti : } \ln P_n = (37.00 \pm 0.30) - (1.36 \pm 0.05) \times 10^8 / T \quad (9)$$

$$\text{Zr 0.10 Ti : } \ln P_n = (54.27 \pm 0.18) - (1.57 \pm 0.02) \times 10^8 / T \quad (10)$$

$\text{TiO}_2$ 가 첨가되지 않은 참고문헌[2]와의  $P_n$  값을 비교하여 보았는데, 측정온도구간에서 약 1.5 order정도의 낮은 값을 보이고 있으며 이는 YSZ의 측정가능한 산소분압의 영역이 확대되었음을 의미한다.

위에서 구한  $P_n$  값으로부터  $t_i=0.09$ 일때의  $P_{O_2}$ 를 구하여 보면 YSZ의 전자에 의한 전기전도도가 커져서 cell(I)의 기전력 E가 Nernst식의 전압  $E_N$ 으로부터 벗어나기 시작하는  $P_{O_2}$ 는 전해질영역의 하한  $P_p$ 보다 매우 적을 것이므로, 즉  $P_{O_2} \ll P_p$ 이므로 다음과 같다.

$$\ln P_{O_2} = \ln P_n - 4 \ln \{ (1-t_i) / t_i \} \quad (11)$$

식 (11)에  $t_i=0.99$ 를 대입하면

$$\ln P_{O_2} (t_i=0.99) = \ln P_n + 7.98 \quad (12)$$

따라서  $t_i=0.99$ 이상인 실제의 전해질 영역은  $P_n$ 보다 약 8order 정도 위쪽에 위치한다.

#### IV. 결 론

1. 안정화제인  $\text{Y}_2\text{O}_3$ 에 의해 이루어진 cubic phase의 결정상이  $\text{TiO}_2$  첨가에 의한 변화는 없었으며 기공체거에 따른 치밀화로 이론밀도 97% 이상의 균질한 소결체를 얻었고 0.02wt%의  $\text{TiO}_2$ 를 첨가하였을 때 고밀도의 소결체를 얻었다.

2. 산소분압을 변화시키며 전기전도도를 측정한 결과  $\text{TiO}_2$ 를 0.02wt% 첨가하였을 때의 전기전도도가  $0.293 (\Omega \cdot \text{cm})^{-1}$  (1, 100°C의 온도)으로 가장 높은값을 보였으며 이는  $\text{TiO}_2$ 가 첨가되지 않았을 경우의 전기전도도  $0.107 (\Omega \cdot \text{cm})^{-1}$ 에 비해 향상된 값이었다.

3. 전기전도도 측정치를 종합하여 본 결과 일정한 전기전도도 등온선을 나타내었고 이는 산소분압변화에 따라 전기전도도가 변하지 않는다는 것을 의미하며,  $\text{TiO}_2$ 를 0.02wt% 첨가하였을 경우의 전기전도도  $0.293 (\Omega \cdot \text{cm})^{-1}$ 에 비해 전자전기전도도는  $1.3 \times 10^{-6} (\Omega \cdot \text{cm})^{-1}$  (1 ppm  $\text{PO}_2$ , 1, 100°C 온도)로서 극히 적은 값이었으므로 대부분 이온전도에 의한 전기전도라 할 수 있으며 따라서 고체전해질임을 확인하였다.

4. 전해질영역의 하한인  $P_n$  값은  $\text{TiO}_2$ 를 0.02wt% 첨가한 경우  $4 \times 10^{-28} \text{ atm}$  (1, 100°C 온도)으로  $\text{TiO}_2$ 가 첨가되지 않은 경우의  $1.5 \times 10^{-27} \text{ atm}$  (동일

표 5. 이온에 의한 전기전도도와 전자에 의한 전기전도도가 같아지는 산소분압  $P_n$ 의 온도에 따른 변화

Table 5. Change of partial oxygen pressure  $P_n$  according to temperattrue when the electrical conductivity of ions and electrons are at the same value.

T (°C) K (° ) 1,000/T (1/K)	Zr 0.02 Ti $\ln P_n$ $\log P_n$	Zr 0.05 Ti $\ln P_n$ $\log P_n$	Zr 0.10 Ti $\ln P_n$ $\log P_n$
1, 100	4.0E-28	5.5E-28	6.0E-28
1, 373			
0.728332	-27.4001	-27.2596	-27.2218
1, 130			1.0E-26
1, 403			-26.0000
0.712758			
1, 167	1.6E-26		
1, 440			
0.694444	-25.7986		
1, 180		1.8E-25	
1, 453			-24.7447
0.688231			
1, 200	2.8E-25		3.6E-25
1, 473			-24.4436
0.678886	-24.5606		
1, 231		5.0E-24	
1, 504			
0.664893		-23.3010	
1, 280	1.6E-23		5.2E-22
1, 553			-21.2839
0.643915	-22.8041		
1, 300		1.6E-22	
1, 573			-21.7958
0.635727			

조건)에 비해 낮은 값이므로 전해질영역이 넓어짐을 알 수 있었다.

### 參 考 文 獻

- [1] Robert Ruh, "Reaction of zirconia and titania at elevated temp," *Journal of American Ceramic Society*, vol. 56 no. 7, pp. 301-307, 1963.
- [2] 김영철 "Electrolytic Characteristic of Yttria Stabilized Zirconia" 서울대 대학원 석사논문. 1988.
- [3] 유한일 "쌍용 산소 센서 소재의 전해질 특성 연구보고서" 1986.
- [4] Michael J. Bammister, "Solubility of  $TiO_2$  in  $ZrO_2$ ," *Journal of American Ceramic Society*, vol. 69, no. 11, pp. 269-271, 1986.
- [5] J.C. Wursd, "Linear intersect Tech for measuring grain Size in two phase polycrystalline ceramics," *Journal of American Ceramic Society*, vol. 55, no. 2, pp. 109, 1972.
- [6] 정형진, 오영제, "Some physical and electrical properties of zirconia solid electrolyte contained yttria," *Journal of the Korean Ceramic Society*, vol. 23, no. 1, 1986.
- [7] 오영제, 정형진, 이희수, "Effect of  $M_2O_3$  on the sinterability and electrical conductivity of  $ZrO_2$  ( $Y_2O_3$ ) system (I, II)," *Journal of the Korean Ceramic Society* vol. 23, no. 3, no. 6, 1986.
- [8] 변수일, "Investigation of high temperature electrical conductivity of CaO-Partially stabilized  $ZrO_2$ ," *Journal of the Korean Ceramic Society* vol. 16, no. 4, 1979.
- [9] W.J. Fleming and Warren, MI, "Zirconia oxygen sensor an equivalent circuit model," *Society of Automotive Engineer*, pp. 76-90, 1981.
- [10] 斎藤安俊 "安定化 Zirconia の電氣傳導度と酸素 Sensor" in *Zirconia Ceramics* pp. 109 - 125, 1983.

---

### 著 者 紹 介

---



李濟遠(正會員)

1954年 2月 8日生. 1975年 성균관대학교 전기공학과 학사학위 취득. 1989년 연세대학교 산업대학원 전자재료 석사학위 취득. 1977년~현재 쌍용양회 조사개발부 근무중. 주관심분야는 Ceramics를 소재로한 sensor 및 전자부품 분야임.

朴昌燁(正會員)

1935年 2月 13日生. 1958年 연세대학교 전기공학과 학사학위 취득. 1960年 연세대학교 대학원 전기공학과 석사학위 취득. 1973年 동대학원 공학박사 학위 취득. 현재 연세대학교 전기공학과 교수.